

Домашнее задание №2 по курсу «Архитектура
Компьютеров»

Разработка эффективного представления бинарных деревьев

Студент: Борнев Антон Юрьевич

Преподаватель: Макаров Андрей Владимирович

Группа: ИУ9-21

Москва

2014

Аннотация

Ставится задача разработать эффективные а) представление и б) реализации операций вставки, удаления и поиска для двоичных деревьев; параметры двух-уровневой кэш-памяти должны задаваться опциями командной строки компилятора. Будем считать, что ключи и значения имеют тип *uint64_t*

1 Обозначения

C_0 — размер кэш строки

C_i — размер кэша i -ого уровня

B_0 — размер одной вершины бинарного дерева

$h(T)$ — высота бинарного дерева T

$B = C_0/B_0$ — сколько, в лучшем случае, ”можно получить” вершин дерева T за одно обращение к памяти.

2 Анализ бинарного дерева «на указателях»

Рассмотрим обычное бинарное дерево «на указателях». Пусть вершина реализована следующим образом:

Листинг 1: Пример кода

```
1 struct Node {  
2     key_t Key;  
3     item_t Item;  
4     Node *left, *right, *parent;  
5 }
```

На каждом шаге алгоритма поиска происходит следующие:

1. разыменование указателя на текущую вершину
2. сравнение искомого ключа с ключом в вершине
3. если мы нашли ключ, останавливаемся, иначе: если искомый ключ меньше ключа в вершине идём влево, иначе в право

Такое представление имеет большой минус: при каждом разыменовании указателя, мы получаем порцию данных размера B_0 , в то время как в большинстве случаев необходим только ключ (*Key*) в текущей вершине. Обращение же к хранимому значению (*Item*) происходит крайне редко. В качестве решения, можно хранить ключи отдельно от значений. Так же лучше разбивать ключи на массивы по размеру строки кэша. Тогда за одно обращения мы будем получать B элементов.

Лемма 1. Будем считать, что за одно обращение, вся вершина полностью попадает в память. Рассмотрим T — бинарное дерево, его высота $h(T) \in [1; N]$, где N - количество вершин в дереве. По свойствам бинарного дерева сложность поиска, вставки и удаления $O(h)$, т.е. при данных операциях мы посещаем $O(h)$ вершин, следовательно в худшем случае будет происходить $O(h)$ транзакций памяти (кэш-промахов)

3 Статические деревья

Пусть все вершины дерева располагаются в одном массиве, $h(u)$ — высота дерева с корнем в вершине u , тогда имеют место следующие определения:

Определение 3.1. *BFS порядок (рис. 1) — это порядок, в котором вершины располагаются в той последовательности, в которой они были бы посещены, если бы использовался алгоритм поиска в ширину.*

Определение 3.2. *DFS порядок (рис. 2) — это порядок, в котором вершины располагаются в той последовательности, в которой они были бы посещены, если бы использовался алгоритм поиска в глубину.*

Определение 3.3. *Порядок van Emde Boas (рис. 3) определяется рекурсивно:*

1. Если дерево T состоит из одной вершины — то нумеруем эту вершину.
2. Если дерево T состоит из двух и более: пусть $h_0 = \lceil h(T)/2 \rceil$ — высота дерева T_0 , состоящего из всех вершин дерева T , глубина которых меньше, либо равна h_0 , и пусть T_1, \dots, T_k — поддеревья T с корнями, расположенными на уровне $\lceil h(T)/2 \rceil + 1$ (Нумерация слева направо). Применим эти же рассуждения к T_0, \dots, T_k .

Порядки из определений 3.1, 3.2, 3.3 дают возможность избавиться от указателей и вычислять детей текущей вершины с помощью арифметических преобразований. Так, в *BFS* порядке для i -ого элемента детьми будут $2i$ и $2i + 1$. Аналогично, в *DFS* порядке для i -ого элемента: $i - 2^{h(u)-2}$ и $i + 2^{h(u)-2}$, где u — вершина с номером i . Для *vEB* алгоритм вычисления индексов более сложный. Двигаясь от корня вниз по дереву, мы отслеживаем *BFS* индекс текущей вершины и используем преобразование, описанные в [1], для получения индекса в *vEB*.

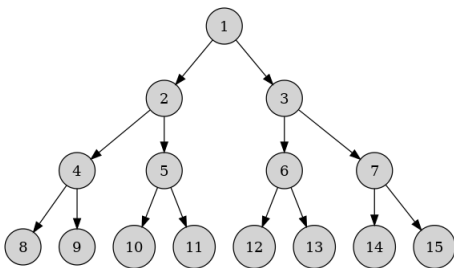


Рис. 1 — *BFS* дерево

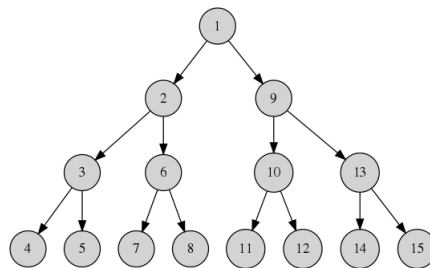


Рис. 2 — *DFS* дерево

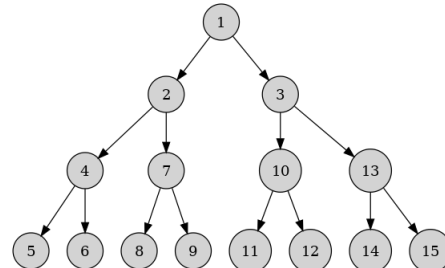


Рис. 3 — *vEB* дерево

Проанализируем количество транзакций памяти. При поиске по дереву, расположенному в *BFS* порядке, верхние $\lfloor \log_2(B + 1) \rfloor$ уровней будут содержать по две вершины, расположенные рядом в одном блоке размером C_0 , но так как использоваться будет только один из них, получаем $O(\log_2(N) - \log_2(B))$ транзакций памяти. Для *DFS*, худший случай такой же как у *BFS*, лучший же $O(\log_2(N)/B)$ (весь путь полностью лежит в блоках размером C_0). Для *vEB*, как показал Рокор [2], совершается $O(\log_B(N))$ транзакций памяти.

Понятно, что любое динамическое дерево можно вписать в статическое. Более того, появляется возможность избавиться от указателей, а следовательно сократить размер одной вершины. Напомним, что размер константы B обратно пропорционален размеру одной вершины, следовательно уменьшив одну вершину, мы повышаем кэшируемость всего дерева. Используем данное наблюдение при построении кэш-эффективного алгоритма.

4 Кэш-эффективный алгоритм

Как уже было предложено в секции 2, будем хранить ключи отдельно от значений. Также разобьём дерево на кластеры по C вершин. Каждый такой кластер является статическим деревом. Пусть $h(C) = \log_2(C + 1)$ — высота такого кластера, и пусть $2^{h(C)+1} - 1$ вершин будет содержаться в каждом кластере, причём $2^{h(C)} - 1$ вершин — ключи, а $2^{h(C)}$ — вершины-указатели на другие кластеры. Так как размер ключей и указателей, в нашем случае, совпадает, то ключи и указатели будут храниться в одном массиве. Укладывать в массив будем в одном из трёх порядков, предложенных в секции 3. При навигации будут высчитываться индексы с помощью арифметических преобразований. При переходе на нижний уровень кластера, будет использоваться вершину-указатель для перехода в другой кластер. Рисунок 4 представляет собой иллюстрацию такого дерева для $C = 15$ и порядка vEB .

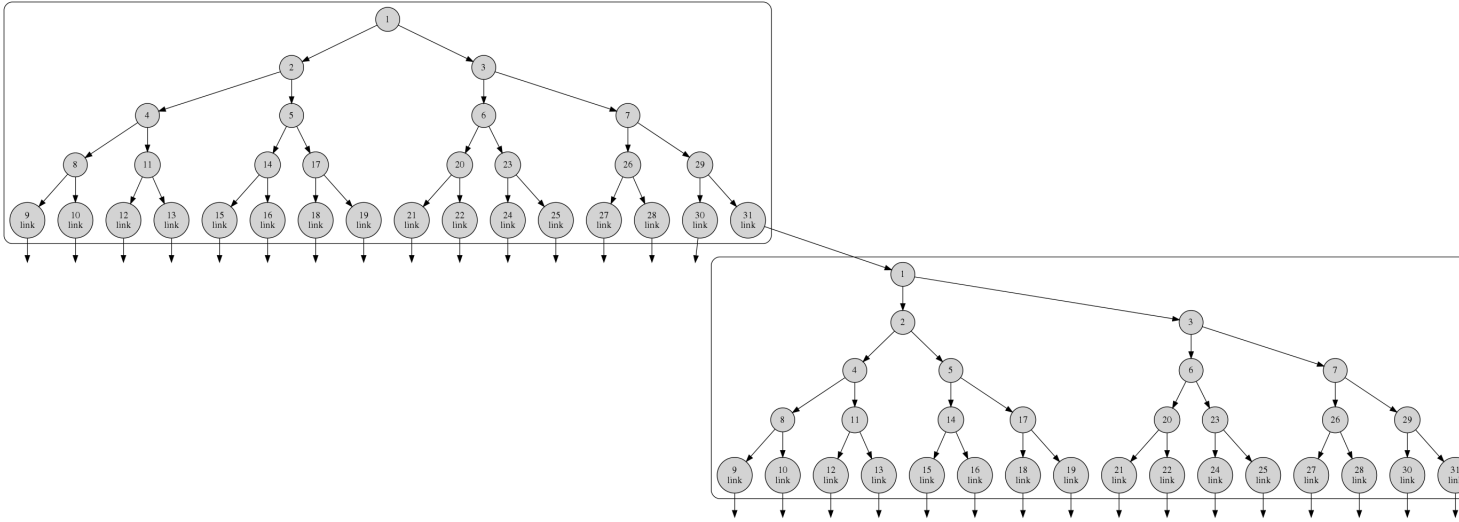


Рис. 4 — Кэш-эффективное расположение в памяти

Определение 4.1. Пусть R — дерево, разбитое на кластеры, тогда $z(R) = h(R)/h(C)$ — высота в кластерах.

Определение 4.2. Полностью плотный кластер — это кластер содержащий C ключей.

Лемма 2. Поддержание кластера плотным даёт сложность на операцию вставки

$O(h + C)$ в худшем случае.

Доказательство. Пусть R — кластер, в который выполняется операция вставки. V — поддереву дерева T , вписанное в данный кластер. Для поддержания R плотным, при вставке, если достигается высота $\log_2(C + 1) + 1$, а в кластере имеются пустые места, то вместо того, чтобы создавать новый кластер, мы перестраиваем дерево V так, чтобы добиться идеальной сбалансированности. Для этого выполняется обход данного дерева V в предпорядке, формируя массив ключей и значений. Затем выполняется второй обход, во время которого строится сбалансированное дерево V . Сложность этих операций $O(n)$. В худшем случае, при вставках в V строится линейное дерево (вставки будут каждый раз увеличивать высоту дерева V). В таком случае, средняя сложность вставки в T :

$$O\left(\frac{n * L + B}{n}\right) \quad (1)$$

где n — количество вставок в V , L — сложность одной вставки в T , B — суммарная сложность балансировки. Дадим верхнюю оценку на B : пусть на каждую операцию вставки в R происходит перебалансировка дерева V . Будем считать, что каждый раз алгоритм применяется к $C+1$ вершине. Тогда: $B = nO(C+1)$. Упростим формулу 1:

$$O\left(\frac{n * L + B}{n}\right) \leq O\left(\frac{nh + n(C + 1)}{n}\right) = O(h + C) \quad (2)$$

□

Лемма 3. Данный алгоритм совершает $O(z(T)\log_B(2C + 1))$ транзакций памяти при поиске. (Если используется порядок *van Emde Boas*).

Доказательство. Пусть T — бинарное дерево, разбитое на кластеры. Внутри одного кластера содержится C ключей и $C + 1$ ссылка, расположенные в *vEB* порядке, следовательно при проходе по одному кластеру совершается $O(\log_B(2C + 1))$ транзакций памяти, отсюда при проходе по всему дереву потребуется $O(\frac{h(T)}{h(C)}\log_B(2C + 1)) = O(z(T)\log_B(2C + 1))$ □

Лемма 4. Аналогично доказательству леммы 3, если используется порядок *BFS/DFS*, то количество транзакций памяти при поиске $O(z(T)(\log_2(2C + 1) - \log_2(B)))$.

Лемма 5. Пусть $2 \leq B < C$. Ожидаемое ускорение относительно обычного бинарного дерева (на указателях) составляет:

$$S_{vEB} = O\left(\frac{\log_2(C+1)}{\log_B(2C+1)}\right) \quad (3)$$

$$S_{BFS/DFS} = O\left(\frac{\log_2(C+1)}{\log_2(2C+1) - \log_2(B)}\right) \quad (4)$$

Доказательство. Для (3) имеем:

$$S_{vEB} = O\left(\frac{h(T)}{\frac{h(T)}{h(C)} \log_B(2C+1)}\right) = O\left(\frac{\log_2(C+1)}{\log_B(2C+1)}\right)$$

Для (4):

$$\begin{aligned} S_{BFS/DFS} &= O\left(\frac{h(T)}{\frac{h(T)}{h(C)} (\log_2(2C+1) - \log_2(B))}\right) = \\ &= O\left(\frac{\log_2(C+1)}{\log_2(2C+1) - \log_2(B)}\right) \end{aligned}$$

□

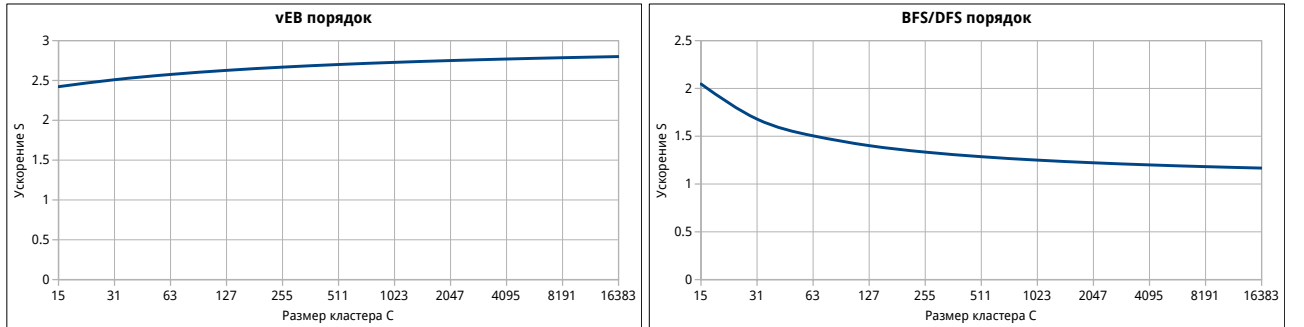


Рис. 5 — Графики зависимости ускорения от размера кластера, при $B = 8$

4.1 Эксперимент

Конфигурация системы:

Cpu: Intel Core i7-4700MQ CPU @ 2.400GHz

Ram: 12 GB, 1600 MHz

C_3 : 6MB

C_2 : 256KB

C_1 : 64KB

C_0 : 64В

Все тесты проводились на деревьях с количеством вершин 2^{24} , количество тестов для поиска 2^{27} . Данные, подаваемые на вход, были одинаковы для кэш-эффективного и обычного алгоритмов.

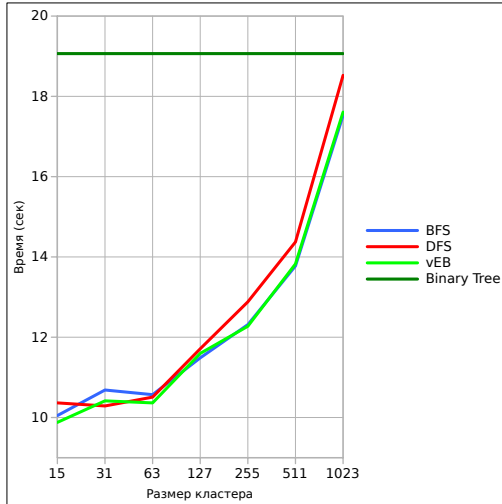


Рис. 6 — Зависимость скорости вставки от размера кластера

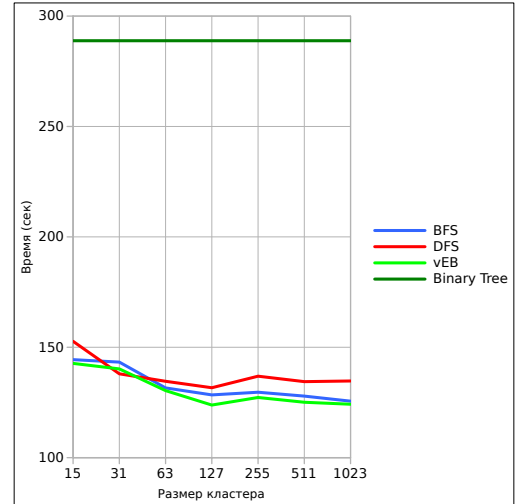


Рис. 7 — Зависимость скорости поиска от размера кластера

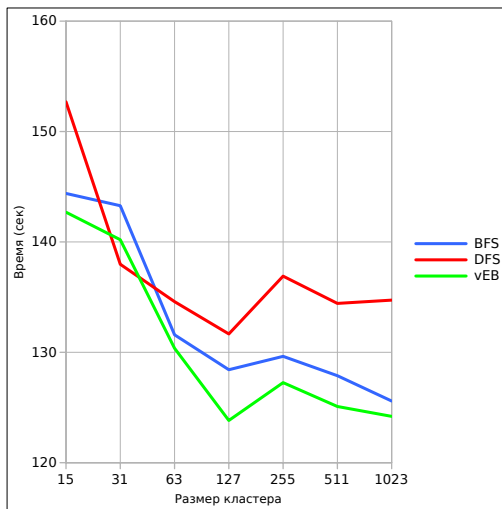


Рис. 8 — Зависимость скорости поиска от размера кластера (без сравнения с обычным деревом)

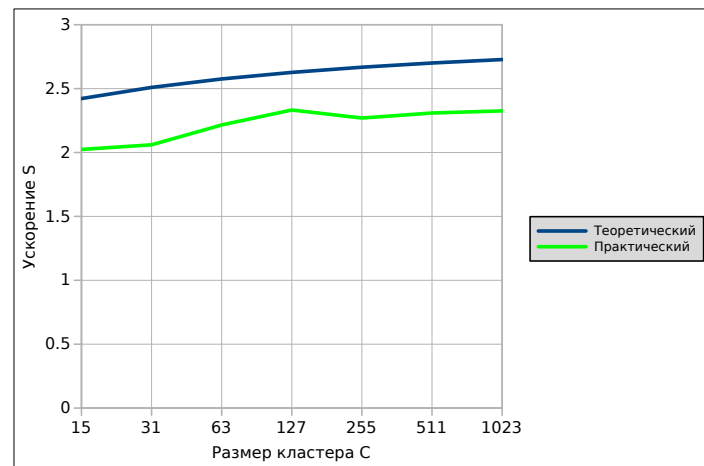


Рис. 9 — Выигрыш в скорости. Теоретические и практические результаты (*vEB*)

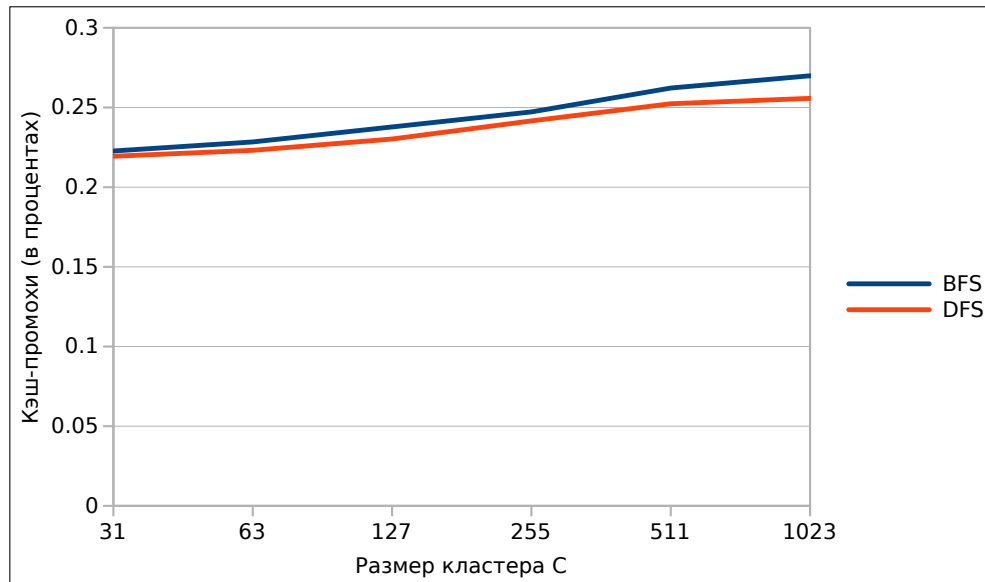


Рис. 10 — Замеры кэш-гриндом

Как видно из рисунка 8, порядок νEB является наилучшим. Рисунки 8 и 6 показывают, что лучший результат достигается разбиением на $C = 63$, или 127. Выбирать $C \geq 1023$ не рекомендуется, из-за большого расхода памяти, и ухудшения скорости вставок. Заметим, что достигнут выигрыш в скорости поиска более чем в 2 раза для всех тестируемых разбиений (рис. 7). Из рисунка 9, 8 видно, что выигрыш относительно бинарного дерева, соответствует формуле 3, с точностью до константы $c \approx 1.18$. Несоответствие результата BFS/DFS практического (рис. 8) и теоретического (рис. ??) вызвано тем, что с увеличением параметра разбиение C , дерево становится более сбалансированным, а следовательно поиск выполняется быстрее. Поэтому дополнительно был поставлен ещё один эксперимент, с использованием `cachegrind`, с параметрами $C_1 = 512B$, $C_0 = 64B$, размером дерева 2^{16} вершин и 2^{17} тестов на поиск. Из рисунка 10 видно, что с увеличением C происходит деградация BFS и DFS по кэш-промахам, как и предполагалось в теории.

5 Заключение

В рамках данной работы был предложен простой алгоритм. Он имеет множество недостатков и был разработан с целью улучшения понимания работы кэша.

Список литературы

- [1] G. S. Brodal, R. Fagerberg and R. Jacob. Cache oblivious search trees via binary trees of small height. In 13th Annual ACM-SIAM Symposium on Discrete Algorithms (SODA 2002), pages 39–48. Society for Industrial and Applied Mathematics, 2002.
- [2] H. Prokop. Cache-oblivious algorithms. Master’s thesis, Massachusetts Institute of Technology, June 1999.